

Applications différentiables sur un ouvert de \mathbb{R}^n , Exemples & applications.

Références: • Recueil, Petit guide...
• Géométrie, calcul différentiel
• Gruber, analyse

Dans la suite, $E = \mathbb{R}^n$ et $F = \mathbb{R}^p$.
 U est un ouvert de E et $a \in U$.
Z) Propriétés de base sur la notion de différentiabilité d'une fonction

1) Applications différentiables

Def 1: Soit $f: U \rightarrow F$, f est différentiable en a si il existe une application linéaire $l: \mathbb{R}^n \rightarrow \mathbb{R}^p$ tel que:
 $f(a+h) = f(a) + l(h) + o(\|h\|)$ lorsque $h \rightarrow 0$.
 Dans ce cas, l est unique. On la note df_a .
 Si f est différentiable en tout point de U , f est dite différentiable sur U , $a \rightarrow df_a$ est appelée application différentielle de f . Si df est continue, on dit que f est de classe C^1 .

- Ex 1:** • Si f est linéaire, $df = f$.
- Si $f: \mathbb{R} \rightarrow \mathbb{R}^p$ différentiable, alors $df_a \cdot h = h f'(a)$
 - $\det: M_n(\mathbb{R}) \rightarrow \mathbb{R}$: $d(\det)_A \cdot H = \text{Tr}({}^t \text{Com}(A)H)$
 - $\exp: M_n(\mathbb{R}) \rightarrow M_n(\mathbb{R})$: $d(\exp)_A \cdot H = H$
 - $f: A \rightarrow A^{-1}$ de $GL_n(\mathbb{R})$: $df_A \cdot H = -A^{-1}HA^{-1}$

Prop 3: Somme, produit, composition:

- $d(f+lg)_a = df_a + l dg_a$
- Si $f: \mathbb{R}^n \rightarrow \mathbb{R}^p$ et $g: \mathbb{R}^m \rightarrow \mathbb{R}^n$ différentiables en a (resp. $g(a)$), alors $g \circ f$ différentiable en a et:
 $d(g \circ f)_a = dg_{f(a)} \circ df_a$
- Si $f: \mathbb{R}^m \rightarrow M_n(\mathbb{R})$ différentiable en a , $f \cdot g$ avec $g: \mathbb{R}^n \rightarrow M_m(\mathbb{R})$ et $d(fg)_a = f(a)dg_a + g(a)df_a$

Ex 4: • Soit $g: \mathbb{R} \rightarrow \mathbb{R}^n$ différentiable.
 Alors $f: t \rightarrow \|g(t)\|^2$ dérivable et $f'(t) = 2 \langle g(t), g'(t) \rangle$

- Si f est inversible et f^{-1} différentiable, $df_{f^{-1}(a)} = (df_a)^{-1}$. En particulier si $f: \mathbb{R}^n \rightarrow \mathbb{R}^p$, alors $n=p$.
 On dit que f est un difféomorphisme.

2) Dérivée directionnelle, dérivée partielle, et matrice jacobienne.

Def 5: Soit $v \in E$, f est dérivable en a selon v si $\varphi: t \rightarrow f(a+tv)$ est dérivable en 0. $f'_v(a) = \lim_{t \rightarrow 0} \frac{f(a+tv) - f(a)}{t}$

Ex 6: Si f différentiable, $f'_v(a) = df_a \cdot v$.
 $\Delta f: \mathbb{R}^2 \rightarrow \mathbb{R}$ $f(x,y) = y^2/x$ est dérivable en 0 selon $\begin{pmatrix} 1 \\ 0 \end{pmatrix}$ tout vecteur mais n'est pas continue en 0.

Def 7: (e_1, \dots, e_n) est la base canonique de \mathbb{R}^n .
 On note $\frac{\partial f}{\partial x_i}(a)$ la quantité $f'_{e_i}(a)$. Si f est différentiable en a , et $h = \begin{pmatrix} h_1 \\ \vdots \\ h_n \end{pmatrix}$, $df_a \cdot h = \sum_{i=1}^n \frac{\partial f}{\partial x_i}(a) h_i$

Prop 8: Si $a \rightarrow \frac{\partial f}{\partial x_i}(a)$ existe et est continue en a , alors f est différentiable en a et $df_a \cdot h = \sum_{i=1}^n \frac{\partial f}{\partial x_i}(a) h_i$

Def 9: Soit (e_1, \dots, e_p) la base canonique de \mathbb{R}^p .
 $f = (f_1, \dots, f_p)$. Si f est différentiable en a , on a:
 $df_a \cdot e_j = \sum_{i=1}^p \frac{\partial f_i}{\partial x_j}(a) e_i$. On pose $df_a \cdot h = Jf_a \cdot h$ avec Jf_a la matrice $\left(\frac{\partial f_i}{\partial x_j}(a) \right)_{\substack{1 \leq i \leq p \\ 1 \leq j \leq n}} \in M_{p,n}(\mathbb{R})$, c'est la matrice jacobienne de f en a . Si f est C^1 , $a \rightarrow Jf_a$ est continue.

Prop 10: Thm de changement de variables. Soit U et V ouverts bornés de \mathbb{R}^n et φ un C^1 -difféomorphisme de U sur V . Alors: $\int_V f(v) dv = \int_U f(\varphi(u)) |\det(J\varphi_u)| du$

pour toute fonction continue f sur V .
Ex 11: $\int_{x^2+y^2 \leq 1} f(x,y) dx dy = \int_0^{2\pi} \int_0^1 f(\cos(\theta), \sin(\theta)) r dr d\theta$

$\rightarrow \int_{-\infty}^{+\infty} \exp(-x^2) dx = \sqrt{\pi}$

Ex 12: $f: U \rightarrow \mathbb{R}$ différentiable, $df_a \cdot h = \langle \nabla f(a), h \rangle$ avec $\nabla f(a) = \left(\frac{\partial f}{\partial x_1}, \dots, \frac{\partial f}{\partial x_n} \right)$ c'est le gradient de f en a .

Géométriquement, le gradient de f indique sa plus

forte pente. ∇f est orthogonal aux courbes de niveaux de f passant par a (voir nexex).

Ex 13 (Cauchy-Riemann): Soit $U \subset \mathbb{C}$, et $f: U \rightarrow \mathbb{C}$.
 Alors: f est holomorphe sur U si f est différentiable sur U et $\forall a \in U$, $df_a = \begin{pmatrix} u & v \\ -v & u \end{pmatrix}$ avec $u, v \in \mathbb{R}$ (df_a est donc une similitude). Ainsi une fonction holo. préserve les angles.

3) Dérivées d'ordre supérieur

Def 14: Soit f une application différentiable. Si l'application $a \rightarrow df_a$ est différentiable en a , alors f est dite deux fois différentiable en a . On note $d^2 f_a \in \mathcal{L}(\mathbb{R}^n, \mathbb{R}^p)$.

Prop 15: On a $\mathcal{L}(E, \mathcal{L}(E, F)) \cong \mathcal{L}_2(E, F)$. Donc $d^2 f_a$ définit une forme bilinéaire de E dans F . Par exemple, si $f: U \rightarrow \mathbb{R}$ est deux fois différentiable en a , la forme bilinéaire associée est: $(h, k) \rightarrow \sum_{i,j=1}^n \frac{\partial^2 f}{\partial x_i \partial x_j}(a) h_i k_j$ de matrice associée $\left(\frac{\partial^2 f}{\partial x_i \partial x_j}(a) \right)_{1 \leq i, j \leq n}$ c'est la hessienne de f en a .

Prop 16: Si $d^2 f_a$ existe, alors $\frac{\partial}{\partial x_i} \left(\frac{\partial f}{\partial x_j} \right) = \frac{\partial}{\partial x_j} \left(\frac{\partial f}{\partial x_i} \right)$ (Thm de Schwarz)
 On notera $\frac{\partial^2 f}{\partial x_i \partial x_j}$ cette quantité.

$\Delta f: \mathbb{R}^2 \rightarrow \mathbb{R}$ $f(x,y) = xy \frac{x^2 - y^2}{x^2 + y^2}$ et $f(0,0) = 0$
 Alors $\frac{\partial}{\partial y} \left(\frac{\partial f}{\partial x} \right) (0,0)$ et $\frac{\partial}{\partial x} \left(\frac{\partial f}{\partial y} \right) (0,0)$ existent mais ne sont pas égaux.

Def 17: On généralise en notant que f est de classe C^k pour $h \geq 1$ si ses dérivées partielles sont de classe C^{k-1} . f est de classe C^∞ si f est de classe C^h pour tout $h \geq 1$.

Ex 18: $f: A \rightarrow A^{-1}$ de $GL_n(\mathbb{R})$ est C^∞ .
 $\det: M_n(\mathbb{R}) \rightarrow \mathbb{R}$ est C^∞

Prop 19 (Taylor): Soit f de classe C^k sur U . Alors $f(a+h) = f(a) + df_a \cdot h + \frac{1}{2} d^2 f_a(h,h) + \dots + \frac{1}{k!} d^k f_a(h,h) + o(\|h\|^k)$

4) Négativité des accroissements finis

Soit $f: U \rightarrow F$ différentiable soit $[a,b] \subset U$ un segment.

On suppose que pour $x \in [a,b]$, on ait :

$$\|Df(x)\|_{L(F,F)} \leq k \text{ avec } k \text{ une constante positive.}$$

Alors $\|f(b) - f(a)\| \leq k \|b - a\|$. En particulier, si U est convexe et $\|Df(x)\| \leq k \forall x \in U$, alors f est k -lipshitzienne.

Pro 20: Si U est convexe et si $Df(x) = 0 \forall x \in U$, alors f est constante sur U .

Pro 21: Soit f de classe C^1 sur un ouvert convexe U .

Si $\forall x \in U, Df_x \in O_n(n)$ alors f est une isométrie.

Pro 22: Soit $f: [a,b] \rightarrow E$ une paramétré. Pour σ une subdivision de $[a,b]$ par des points $a = t_0 < \dots < t_n = b$ on introduit $L_\sigma = \sum_{i=1}^n \|f(t_i) - f(t_{i-1})\|$. On pose $L = \sup_{\sigma} L_\sigma$

où σ parcourt l'ensemble des subdivisions finies. Si f est C^1 , alors $L = \int_a^b \|f'(t)\| dt$. L est la longueur de f .

Ex 23: Un cercle à pour périmètre 2π .

II) Théorèmes d'inversions et sous-variétés

1) Théorème d'inversion local (TIL)

24) Soit $f: U \rightarrow \mathbb{R}^n$ de classe C^1 . On suppose Df_a inversible. Alors il existe un ouvert V contenant a et un ouvert W contenant $f(a)$ tel que $f|_V$ soit un difféomorphisme de classe C^1 de V sur W (voir annexe).

Cor 25: Si de plus f est injective et $\forall x \in U, Df_x$ est inversible alors f est un difféomorphisme de U sur $f(U)$.

Rq 26: Il est difficile en général de montrer l'injectivité de f . On a un théorème plus général (Hadamard 1892)

Pro 27: Soit $f: \mathbb{R}^n \rightarrow \mathbb{R}^n$ de classe C^1 . On a équivalence:

(1) f est un difféomorphisme de \mathbb{R}^n

(2) f est propre, et Df_x inversible pour tout x de \mathbb{R}^n .

Ex 27: $f: \mathbb{R}^2 \times \mathbb{R} \rightarrow \mathbb{R}^2$

$$(r, \theta) \mapsto (r \cos(\theta), r \sin(\theta))$$

est un difféomorphisme local en tout point mais non injective.

Ex 28: $\exp: \mathbb{C} \rightarrow \mathbb{C}^*$ est surjective. Plus généralement :

- Une fonction holomorphe non constante est ouverte.
- $\exp: M_n(\mathbb{C}) \rightarrow GL_n(\mathbb{C})$ est surjective.

Pro 30 (D'Alembert-Cauchy) Soit $P: \mathbb{C} \rightarrow \mathbb{C}$ polynôme non constant.

Alors P est surjectif. En particulier P a une racine.

Pro 31 (Lemme de Morse). Soit $f: U \rightarrow \mathbb{R}^n$ de classe C^2

On suppose que $D^2f_a = 0$ et D^2f_a est non dégénérée,

de signature $(p, n-p)$. Il existe alors un difféomorphisme C^1

ϕ entre deux voisinages de a tel que $\phi(a) = a$, et en rotant $(u_1(x), \dots, u_n(x)) = \phi(x)$ on ait :

$$f(x) - f(a) = U_1^2 + \dots + U_p^2 - U_{p+1}^2 - \dots - U_n^2$$

Signalons quelques conséquences topologiques du Théorème d'inversion locale :

Pro 32 (Théorème de la boule chevelue) Soit n impair ≥ 3

et $f: S^{n-1} \rightarrow \mathbb{R}^n$ tq $\forall x \in S^{n-1}, \langle f(x), x \rangle = 0, f$ continue.

existe x tel que $f(x) = 0$ (on ne peut peigner une sphère poilée sans qu'elle ait d'épis).

Pro 33 (Point fixe de Brouwer) Soit $n \geq 1$, et f continue de B^n dans B^n . Alors f admet un point fixe.

2) Théorème des fonctions implicites (TFI)

Soit U un ouvert de $\mathbb{R}^n \times \mathbb{R}^p, (a,b) \in U$ et $f: U \rightarrow \mathbb{R}^p$ de classe C^1 . On suppose que $f(a,b) = 0$ et que la différentielle de $f|_b$ en b est inversible

(on la note $Df_b(a,b)$). Alors il existe un voisinage V de a , un voisinage W de b tel que $V \times W \subset U, Df|_{V \times W}$ est inversible pour $(v,w) \in V \times W$ et une unique application

$$\phi: V \rightarrow W \text{ tel que } \forall (v,w) \in V \times W, f(v,w) = 0 \iff (v \in V \text{ et } w = \phi(v))$$

(voir annexe en dessin).

De plus, ϕ est de classe C^1

Rq 34: En différentiant $f(x, \phi(x)) = 0$ on trouve :

$$Df_x = - (Df_y|_{(x, \phi(x))})^{-1} \circ Df|_{(x, \phi(x))}$$

Ex: $f: \mathbb{R} \times \mathbb{R} \rightarrow \mathbb{R}$ soit $(a,b) \neq (1,0)$ tel que $(a,b) \mapsto -ax^2 + y^2 - 1, f(a,b) = 0$

Alors $Df_x(a,b) = 2b \neq 0$. Du TFI, il existe un voisinage de (a,b) tel que $f(x,y) = 0 \iff y = \phi(x)$ pour $\phi: \mathbb{R} \rightarrow \mathbb{R}$

de classe C^1 . De plus, $\phi'(x) = \frac{x}{1}$

Rq: Ce théorème est équivalent au théorème d'inversion local, via $g: (x,y) \mapsto (x, f(x,y))$ de $\mathbb{R}^n \times \mathbb{R}^p$ dans lui-même.

Cor 35: Soit $f: \mathbb{R}_n[x] \times \mathbb{R} \rightarrow \mathbb{R}$ le TFI donne $(p,x) \mapsto P(x)$

qui une racine simple d'un polynôme P dépend localement de manière C^1 des coefficients de P .

Ex 36: Soit $k \geq 1$. Il existe un voisinage U de \mathbb{Z}_n dans $M_n(\mathbb{R})$ tel qu'on puisse définir une fonction C^1 "racine k -ième" de U dans $M_n(\mathbb{R})$ qui fixe \mathbb{Z}_n .

3) Sous-variété de \mathbb{R}^n .

Soit V un sous-ensemble de $\mathbb{R}^n, a \in V$ et d un entier naturel. Les conditions suivantes sont équivalentes :

(1) Il existe un voisinage ouvert U de a et un C^1 -difféomorphisme de U sur l'ouvert $F(U)$ contenant 0 qui transforme V en un sev de dimension d , i.e. $F(V \cap U) = V \cap F(U)$ avec $V = \mathbb{R}^d \times \{0\}$

(2) Il existe un voisinage ouvert U de a et $n-d$ fonctions $f_i: U \rightarrow \mathbb{R}$ de classe C^1 , telles que $x \in V \cap U \iff x \in U$ et $f_1(x) = \dots = f_{n-d}(x) = 0$, et les différentielles $Df_1(a), \dots, Df_{n-d}(a)$ sont indépendantes.

(3) Il existe un voisinage ouvert U de a dans \mathbb{R}^n , un voisinage ouvert U' de (a_1, \dots, a_d) dans \mathbb{R}^d et $n-d$ fonctions $g_i: U' \rightarrow \mathbb{R}$ C^1 telles que (après permutation éventuelle des cour données x_i) on ait :

$$x \in V \cap U \Leftrightarrow \begin{cases} (x_1, \dots, x_n) \in U \text{ et} \\ x_{i+1} = g_i(x_1, \dots, x_i), \dots, x_n = g_{n-1}(x_1, \dots, x_{n-1}) \end{cases}$$

(iv) Il existe un voisinage ouvert U de a dans \mathbb{R}^n , un voisinage ouvert \mathcal{V} de 0 dans \mathbb{R}^d et une fonction $\varphi: \mathcal{V} \rightarrow \mathbb{R}^n \subset \mathbb{C}^n$ tel que φ soit un homéomorphisme de \mathcal{V} sur $V \cap U$, avec $a = \varphi(0)$, et que la différentielle de φ en 0 soit injective.

Si (une des quatre conditions est vérifiée pour tout $a \in V$, on dit que V est une sous-variété différentielle de \mathbb{R}^n de dimension d . L'entier d est unique.

Ex 37: Le cercle: ss-variété de dimension 1.

$$S^1 = \{(x, y) \in \mathbb{R}^2 \mid x^2 + y^2 = 1\} \quad (2)$$

Localement, $y = \sqrt{1-x^2} = \varphi(x)$ ou $y = -\sqrt{1-x^2} = \psi(x)$ en $\pm(1, 0)$ (3)

ou $x = \sqrt{1-y^2} = \varphi(y)$ ou $x = -\sqrt{1-y^2} = \psi(y)$ en $\pm(0, 1)$

$$S^1 = \{(\cos(t), \sin(t)), t \in \mathbb{R}\} \quad (4)$$

Pro 37: $SO_n(\mathbb{R})$ est une sous-variété de dimension $n(n-1)/2$.

Plus généralement, tout sous-groupe fermé de $GL_n(\mathbb{R})$ est une sous-variété de $GL_n(\mathbb{R})$. (Cartan - Van Neumann).

Rq 38: La sphère S^n , le tore, les ellipsoïdes sont des exemples de sous-variétés différentielles.

Le graphe de $x \rightarrow |x|$ n'est pas une sous-variété différentielle, bien que homéomorphe à \mathbb{R} .

Def 40: (Espace tangent) (voir annexe)

Soit V une sous-variété différentielle, $a \in V$ et $v \in \mathbb{R}^n$. V est tangent en a à v s'il existe une fonction dérivable $\gamma:]-1, 1[\rightarrow V$ tq $\gamma(0) = a$ et $\gamma'(0) = v$.

L'ensemble des vecteurs tangents forment un sev de \mathbb{R}^n ; $T_a V$ de dimension d .

Pro 41: Sous les notations du théorème des sous-variétés différentielles on a:

(1) $T_a V = \text{Ker } df = \text{Ker } [d_1 f \dots d_n f]$

(2) $T_a V$ est le graphe de $g(a_1, \dots, a_n)$

(3) $\dim(T_a V)$

Ex 42: Soit $V = S^2 = \{(x, y, z) \in \mathbb{R}^3 \mid x^2 + y^2 + z^2 = 1\}$.

Soit $a = (\frac{1}{\sqrt{2}}, \frac{1}{\sqrt{2}}, \frac{1}{\sqrt{2}}) \in V$.

Alors $T_a V = \{(x, y, z) \in \mathbb{R}^3 \mid x+y+z=0\}$, et $\dim(T_a V) = 2$.

Ex 43: $T_x SO_n = \{A \in M_n(\mathbb{R}) \mid A = -A^t\} = \mathcal{A}_n(\mathbb{R})$.

On a bien $\dim(\mathcal{A}_n(\mathbb{R})) = \frac{n(n-1)}{2}$.

III) Applications

1) Recherche d'extremums

Def 44: Soit X un sous-espace de \mathbb{R}^n , a un point de X et $f: X \rightarrow \mathbb{R}$. Le point a est un maximum global si $f(x) \leq f(a) \forall x \in X$, c'est un maximum local s'il existe un voisinage V de a tel que $f(x) \leq f(a)$ pour $x \in V \cap X$.

On a la définition de minimum global et local. Le terme extrénum signifie maximum ou minimum.

Ex 45: $x \rightarrow x^4 - x^2$ admet un maximum local en 0 .

Pro 46: Soit U un ouvert de \mathbb{R}^n , $a \in U$ et $f: U \rightarrow \mathbb{R}$.

(1) Si f admet un extrénum local en a , et si df_a existe alors $df_a = 0$ (pas suffisant).

(2) Si f admet un extrénum local et df_a existe, alors $d^2 f_a \geq 0$ (La forme quadratique associée est positive).

(3) Si $df_a = 0$ et $d^2 f_a > 0$ (définie positive) alors a est un minimum local. Si $d^2 f_a < 0$, a est un maximum local (pas nécessaire).

Ex 47 $f: \mathbb{R} \rightarrow \mathbb{R} \quad x \rightarrow x^3 \quad f'(0) = f''(0) = 0$ Mais on n'est pas un extrénum.

$g: \mathbb{R} \rightarrow \mathbb{R} \quad x \rightarrow x^4 \quad g'(0) = g''(0) = 0$ et 0 extrénum.

Rq 48: Le lemme de Morse précise le comportement de f en a si $d^2 f_a$ est non dégénéré.

Pro 49: (Extremes liés) Soient $f, g_1, \dots, g_p: U \rightarrow \mathbb{R}$ de classe C^1 et $X = \{x \in U \mid g_1(x) = \dots = g_p(x) = 0\}$. Soit $a \in X$. Si a est un extrénum local de $f|_X$ et si les différentielles dg_1, \dots, dg_p sont indépendantes, alors il existe des réels $\lambda_1, \dots, \lambda_p$ (multiplicateurs de Lagrange) tel que $df_a = \sum_{i=1}^p \lambda_i dg_{i,a}$.

Ex 50: Soit $f: \mathbb{R}^2 \rightarrow \mathbb{R} \quad (x, y) \rightarrow x+y$, et $g(x, y) = x^2 + y^2 - 1$. Le maximum de f sur $X = \{(x, y) \in \mathbb{R}^2 \mid g(x, y) = 0\}$ est atteint en $(\frac{1}{\sqrt{2}}, \frac{1}{\sqrt{2}})$. (voir annexe)

Ex 51: Soit v_1, \dots, v_n des vecteurs de \mathbb{R}^n de norme 1. Alors $|\det(v_1, \dots, v_n)| \leq 1$ avec égalité ssi c'est une base orthogonale.

Ex 52: Soit $(x_1, \dots, x_n) \geq 0$ et $(a_1, \dots, a_n) > 0$ tq $\sum a_i x_i = 1$. Alors $x_1^{a_1} \dots x_n^{a_n} \leq a_1 x_1 + \dots + a_n x_n$ avec égalité si $x_1 = \dots = x_n$.

2) Linéarisation d'équations différentielles

Soit $\mathcal{V} \subset \mathbb{R}^n$ un ouvert et f un champ de vecteur C^1 sur \mathcal{V} . On note Φ_t le flot de f à l'instant t (sous réserve d'existence). On appelle équilibre pour f un point $x_0 \in \mathcal{V}$ tel que $f(x_0) = 0$. Ceci revient à dire que $\gamma \in \mathcal{V}$ vérifie $\gamma' = f(\gamma(t))$ et $\gamma(0) = x_0$.

• L'équilibre x_0 est dit stable si pour tout voisinage V de x_0 , il existe un voisinage U de x_0 tel que pour $x \in U$, $\Phi_t(x)$ soit défini pour tout $t \geq 0$ et à valeur dans V .

• L'équilibre est instable si il n'est pas stable.

• Il est dit asymptotiquement stable s'il est stable et s'il existe un voisinage V de x_0 dans \mathcal{V} tq $\forall x \in V$, $\Phi_t(x)$ existe pour $t \geq 0$ et $\Phi_t(x) \rightarrow x_0$ (voir annexe).

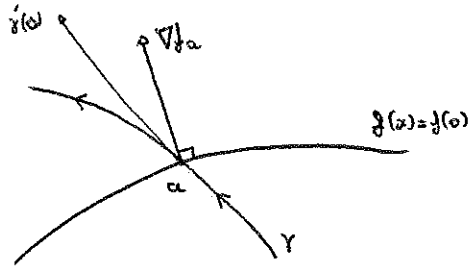
Pro 53 (Théorème de stabilité) Soit f de classe C^1 , et x_0 équilibre. Si $\text{Re}(\text{Sp}(df_{x_0})) \subset \mathbb{R}^-$ alors x_0 est asymptotiquement stable. Inversement, si λ est valeur propre de df_x , et $\text{Re}(\lambda) > 0$, x_0 est instable.

Ex 54: Pour $f(x, y) = \begin{pmatrix} -x & y \\ 0 & -3 \end{pmatrix} \begin{pmatrix} x \\ y \end{pmatrix} + \begin{pmatrix} x^2 \\ y^2 \end{pmatrix}$ $(0, 0)$ est stable.

DEV 1

DEV 2

(2) Gradient & géométrie

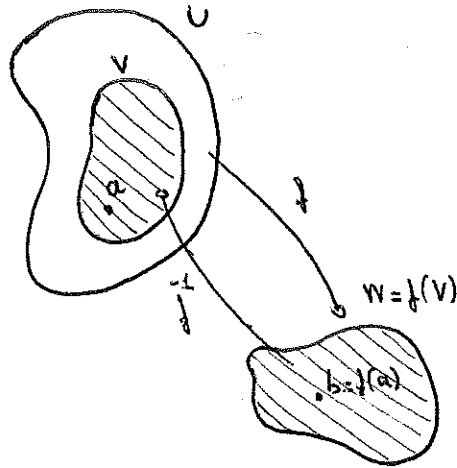


$f: \mathbb{R}^2 \rightarrow \mathbb{R}$
 $\gamma: \mathbb{R} \rightarrow \mathbb{R}^2$ et $\gamma(0) = a$.

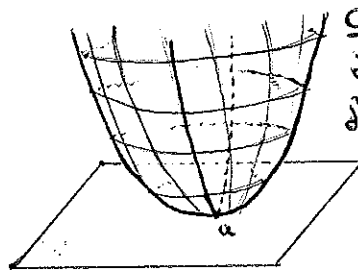
$(f \circ \gamma)'(0) = \nabla f_a \cdot \gamma'(0)$

∇f_a est la direction de plus forte pente en a.

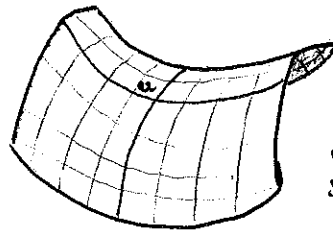
(3) Théorème d'inversion local



(5) Lemme de Morse dans \mathbb{R}^2



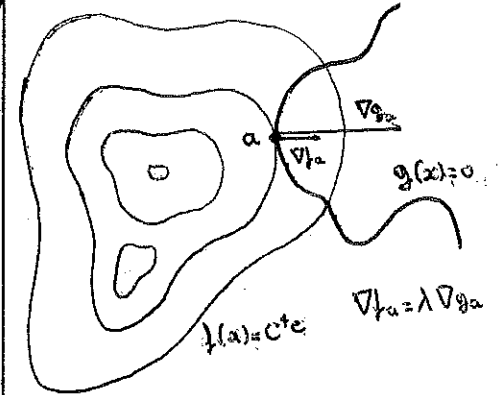
Cas 1:
 $d^2 f_a > 0$ (ou < 0)
 $d^2 f_a = \begin{pmatrix} \pm & 0 \\ 0 & \pm \end{pmatrix}$
 a est un extremum local



Cas 2:
 $d^2 f_a = \begin{pmatrix} \pm & 0 \\ 0 & \mp \end{pmatrix}$
 a est un point selle.

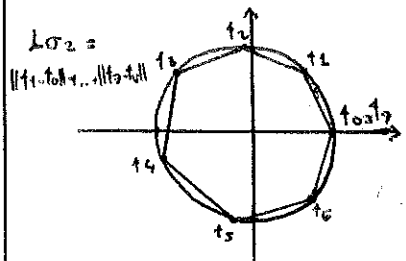
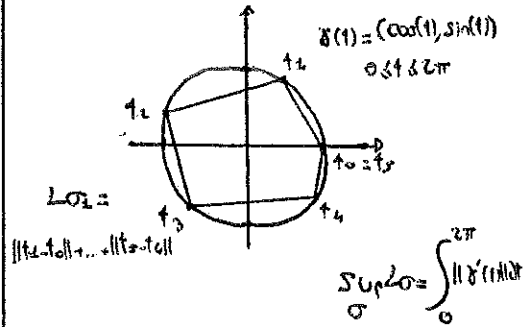
(9) Extremus liés

Courbes de niveau de f:

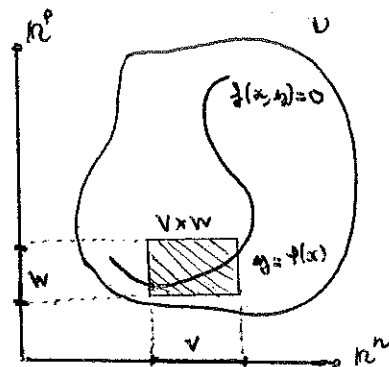


Si a est un extremum, l'ensemble des zéros de g est "tangent" à l'ensemble $\text{Ext } f(x) = \{c\}$ en a.

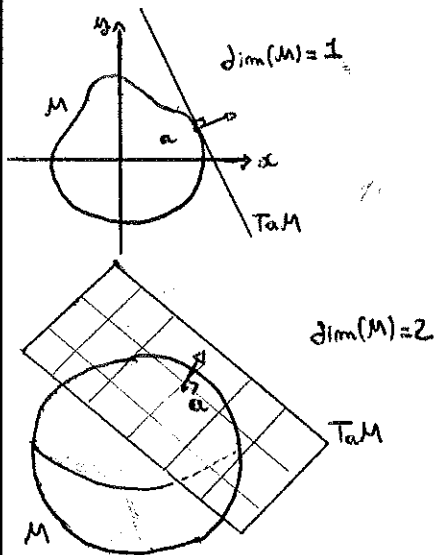
(2) Longueur d'un arc



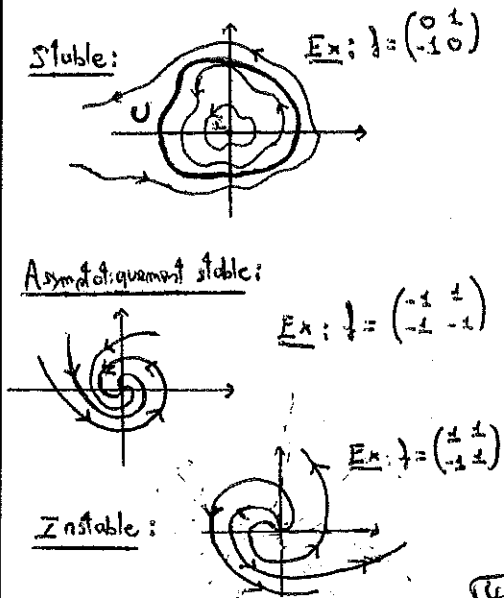
(4) Théorème des fonctions implicites



(5) Espace tangent



(8) Trajectoire stable d'une équation différentielle autonome



Théorème des extremas liés

Théorème. Soit U un ouvert de \mathbb{R}^n , $f, g_1, \dots, g_r : U \rightarrow \mathbb{R}$ de classe C^1 . Soit $\Gamma = \{x \in U \mid \forall i \in \{1, \dots, r\}, g_i(x) = 0\}$. Si $f|_\Gamma$ admet un extremum relatif en $a \in \Gamma$ et si $D_a g_1, \dots, D_a g_r$ sont des formes linéaires indépendantes, alors il existe $\lambda_1, \dots, \lambda_r \in \mathbb{R}$ tels que :

$$D_a f = \sum_{i=1}^r \lambda_i D_a g_i$$

Lemme 1. Soient $\varphi, \varphi_1, \dots, \varphi_r$ des formes linéaires. Alors

$$\varphi \in \text{Vect} \{\varphi_1, \dots, \varphi_r\} \Leftrightarrow \bigcap_{i=1}^r \text{Ker} \varphi_i \subset \text{Ker} \varphi$$

Démonstration. Le sens direct est clair. Pour le sens indirect, on passe par la dualité :

$$\text{Ker}(\varphi)^\perp \subset \sum_{i=1}^r \text{Ker}(\varphi_i)^\perp$$

On constate alors que $\text{Ker}(\varphi_i)^\perp$ est la droite vectorielle $\text{Vect} \{\varphi_i\}$ (deux formes linéaires de même noyau sont colinéaires). Donc finalement :

$$\text{Vect} \{\varphi\} \subset \sum_{i=1}^r \text{Vect} \{\varphi_i\}$$

□

Démonstration. (théorème)

Par hypothèse, Γ est lisse en a . Soit $v \in T_a \Gamma$. Il existe alors une courbe $\gamma : I \rightarrow \Gamma$ telle que $\gamma(0) = a$ et $\gamma'(0) = v$. On différentie $f \circ \gamma$ en 0 :

$$D_0(f \circ \gamma) = D_{\gamma(0)}(f)(\gamma'(0)) = D_a f(v)$$

$f|_\Gamma$ admet un extremum en a donc $f \circ \gamma$ en admet un en 0 donc $D_a f(v) = 0$. Ainsi $D_a f(v)$ est nulle sur $T_a \Gamma = \bigcap_{i=1}^r \text{Ker} D_a(g_i)$. On utilise alors le lemme pour conclure.

□

Corollaire 1. Soit (v_1, \dots, v_n) une famille de vecteurs de \mathbb{R}^n , on a

$$|\det(v_1, \dots, v_n)| \leq \prod_{i=1}^n \|v_i\|$$

Démonstration. Nous allons maximiser \det sur $S = \{(v_1, \dots, v_n) \mid \|v_i\|^2 = 1\}$. Soit (v_1, \dots, v_n) un tel extremum. Il est clair que (v_1, \dots, v_n) doit être libre (sinon le déterminant est nul et il ne peut être un extremum vu qu'on a des familles 1 et -1).

Par les extremas liés, il existe $\lambda_1, \dots, \lambda_n$ tel que :

$$\sum_{i=1}^n \det(v_1, \dots, v_{i-1}, h_i, v_{i+1}, \dots, v_n) = \sum_{i=1}^n 2\lambda_i \langle v_i, h_i \rangle$$

On pose $\forall i, j, H_{i,j} = (h_1, \dots, h_n) = (0, \dots, 0, v_j, 0, \dots, 0)$ avec v_j en i -ème position. En évaluant la formule précédente en $h_{i,i}$, on a

$$\det(v) = 2\lambda_i \|v_i\|^2 = 2\lambda_i$$

donc $\lambda_i = \frac{\det(v)}{2}$. En évaluant maintenant en $h_{i,j}$ pour $i \neq j$:

$$0 = 2\lambda_i \langle v_i, v_j \rangle$$

Comme $\lambda_i \neq 0$, on a que (v_1, \dots, v_n) est une base orthonormale.

Donc $\det(c) = \pm 1$, par conséquent le minimum de \det sur S est -1 et son maximum est 1 donc pour toute famille (u_1, \dots, u_n) de vecteurs unitaires, on a

$$|\det(u_1, \dots, u_n)| \leq 1$$

Pour une famille quelconque, si $\exists i$ tel que $u_i = 0$ on a automatiquement le résultat, sinon on a

$$|\det(\frac{u_1}{\|u_1\|}, \dots, \frac{u_n}{\|u_n\|})| \leq 1$$

et on peut alors sortir les normes $\|u_i\|$ par n -linéarité du déterminant et on a le résultat. □

Référence.

Théorème de Liapounov

Théorème. Soit le système différentiel

$$\begin{cases} y' = f(y) \\ y(0) = x \end{cases}$$

avec $f \in C^1(\mathbb{R}^n)$, $f(0) = 0$, $x \in \mathbb{R}^n$ et $y : \mathbb{R} \rightarrow \mathbb{R}^n$.

Si la matrice D_0f a toutes ses valeurs propres de partie réelles strictement négative, l'origine est un point d'équilibre attractif du système différentiel, ie pour x voisin de 0 la solution $y(t)$ tend exponentiellement vers 0 lorsque $t \rightarrow +\infty$.

Démonstration. On note $A = D_0f \in \mathcal{M}_n(\mathbb{R})$ et $\lambda_1, \dots, \lambda_r$ ses valeurs propres dans \mathbb{C} . Par lemme des noyaux, $\forall x \in \mathbb{C}^n$, on peut écrire $x = x_1 + \dots + x_r$ avec $x_i \in E_i = Ker((A - \lambda_i Id)^{\alpha_i})$. Chaque E_i est stable par A donc $\forall t \geq 0$

$$e^{tA}x_i = e^{t\lambda_i} e^{t(A-\lambda_i Id)}x_i = e^{t\lambda_i} \left(\sum_{k=0}^{\alpha_i-1} \frac{t^k}{k!} (A - \lambda_i Id)^k \right) x_i$$

puis par inégalité triangulaire et majoration polynomiale (on prends la norme $\|\cdot\|$ issue du produit scalaire de \mathbb{R}^n)

$$\|e^{tA}x_i\| \leq e^{tRe(\lambda_i)} C_j (1 + |t|)^{\alpha_i-1} \|x_i\| \leq C e^{tRe(\lambda_i)} (1 + |t|)^{n-1} \|x_i\|$$

avec $C_i > 0$ et $C = \max_i(C_i) > 0$. Donc $\forall x \in \mathbb{C}^n$,

$$\|e^{tA}x\| \leq \sum_{i=1}^k \|e^{tA}x_i\| \leq C(1 + |t|)^{n-1} \left(\sum_{i=1}^r e^{tRe(\lambda_i)} \right) \max_i(\|x_i\|)$$

On écrit la solution du système linéarisé $z(t) = e^{tA}x$. D'après les hypothèses, $\exists a > 0$, telque $\forall i, Re(\lambda_i) < -a$, donc

$$(1 + |t|)^{n-1} e^{tRe(\lambda_i)} e^{at} \rightarrow 0$$

en particulier cette fonction de t est bornée, d'où la majoration montrant que 0 est un point d'équilibre attractif :

$$\|z(t)\| \leq C' e^{-at} \|x\| \rightarrow 0 \text{ quand } t \rightarrow +\infty$$

On pose

$$b(x, y) = \int_0^{+\infty} \langle e^{tA}x, e^{tA}y \rangle dt$$

qui est une forme bilinéaire symétrique. On pose également $q(x) = b(x, x)$ pour $x \in \mathbb{R}^n$ qui est définie positive par continuité de l'application $x \mapsto$

$\|e^{tA}x\|$ et théorème d'annulation d'une fonction positive sous le signe intégral. Remarquons de plus que b est bien définie par théorème de Cauchy-Scharz et par la propriété ci-haut :

$$\langle e^{tA}x, e^{tA}y \rangle^2 \leq \|e^{tA}x\| \|e^{tA}y\| \leq C^2 e^{-2at} \|x\| \|y\|$$

car $t \mapsto e^{-2at}$ est intégrable sur \mathbb{R}_+ . On sait de plus que la différentielle de q en x au point h vaut $2b(x, h)$. En remarquant que

$$[\langle e^{tA}x, e^{tA}x \rangle]' = 2\langle e^{tA}x, e^{tA}Ax \rangle$$

on obtient de plus que

$$2b(x, Ax) = \int_0^{+\infty} \langle e^{tA}x, e^{tA}Ax \rangle dt = [\langle e^{tA}x, e^{tA}x \rangle]_0^{+\infty} = -\|x\|^2$$

On admet l'existence d'une solution $y = y(t)$ au système différentiel. On note de plus $y' = f(y) = Ay + r(y)$. On va chercher à montrer qu'il existe deux constantes $\alpha, \beta > 0$, tel que $y \leq \alpha$ implique que $q(y)' \leq -\beta q(y)$. On calcule :

$$q(y)' = Dq_y(y') = 2b(y, y') = 2b(y, Ay) + 2b(y, r(y)) = -\|y\|^2 + 2b(y, r(y))$$

Par définition de différentielle, $r(y) = f(y) - f(0) - Df_0(y) = o(y)$ donc

$$\forall \epsilon > 0, \exists \alpha > 0, q(y) \leq \alpha \Rightarrow q(r(y)) \leq q(y)\epsilon$$

et par suite $2b(y, r(y)) \leq 2\epsilon q(y)$.

De plus q et $\|\cdot\|$ sont des normes équivalentes de \mathbb{R}^n espace vectoriel de dimension finie, donc $\exists C > 0$ tel que $Cq(y) \leq \|y\|^2$, donc en posant $\beta = C - 2\epsilon > 0$ pour ϵ suffisamment petit, on obtient bien

$$q(y)' \leq -\beta q(y)$$

Supposons maintenant que $q(x) < \alpha$. On remarque que $\forall t \geq 0, q(y(t))' \leq -\beta q(y(t))$. En effet, supposons par l'absurde qu'il existe un temps minimal t_0 tel que $q(y(t_0)) \geq \alpha$, donc $q(y(t_0)) = \alpha$ par continuité, on pourrait alors appliquer le résultat précédent, donc $q(y(t_0))' \leq -\beta q(y(t_0))$ et par conséquent $q(y(t))$ devrait être strictement plus grand que α pour t légèrement inférieur à t_0 , ce qui contredirait sa minimalité.

On peut donc résoudre l'inéquation différentielle ci-dessus pour tout t positif, ce qui nous donne

$$q(y(t)) \leq e^{-\beta t} q(x)$$

donc $y(t)$ tends exponentiellement vers 0 pour x dans un voisinage de 0, ce qui achève la preuve. \square

Référence. "Petit guide de calcul différentiel". François Rouvière. Cassini. 2009.